

東京電力(株) 正会員 田村 義美
 " ○ 鈴木 和三郎

1. まえがき

近年、鋼製タンクの安全性についての関心が高まっているが、筆者は最近、50,000 kN級タンクの応力測定を実施し、その結果を利用してタンクの数値解析方法について、若干の検討を加えた。

ここでは、応力測定結果を述べるとともに、その測定値と数値解析結果とを比較し、モデル解析における地盤のパネ定数の影響について報告するものである。

2. タンクの概要

応力測定ならびに数値解析を実施した鋼製タンクの概要は、表-1に示すとおりである。

表-1 鋼製タンクの概要

3. 応力測定の方法

型 式	フローティングループ型
直径 × 高さ	Φ 61,020 mm × h 20,860 mm
容 量	50,000 kN
側 板 厚	23 ~ 8 mm, 底板 12 ~ 6 mm
建 設 年 月	昭和45年9月

(丁すみ内部)を中心にして、半径方向の一一直線上に、側板の内外面に1ヶ所ずつ底板の上面に1ヶ所ずつ計34ヶ所、また直線上から離れた底板(丁すみ内部近傍)に6ヶ所の合計40ヶ所設置した。なお使用したひずみ計は、ゲージ長2mmの、直交2軸型箔ゲージである。

2) 応力の算定

測定ひずみ(ϵ)から応力(σ)の算定は次の式によった。

$$\sigma_x = E/(1-v^2)(\epsilon_x - V\epsilon_y), \quad \sigma_y = E/(1-v^2)(\epsilon_y - V\epsilon_x)$$

ここに E = 弾性係数 $2.1 \times 10^6 \text{ kg/cm}^2$

V = ポアソン比 0.3 と仮定した。

3) 水張り量

本タンクの実容量は、50,000 kNであるが、今回の測定に、

おいては、都合により水張り量は、40,000 kN(H 13.59m)

までとした。また水張中の平均水温は、15°Cであった。

4. 応力測定結果

1) 底板の応力

① 底板半径方向の応力測定結果を、図-2に示す。応力は側板直近において、水張り量40,000 kN(以下ことわりない限り同じ)のとき、3.350 kg/cm²(7点の平均値、なお最小は2,900 kg/cm²、最大は3,900 kg/cm²)の最大値を示した。

② 底板周方向の応力測定結果を、図-3に示す。応力は側板から1m程度離れた点で1,150 kg/cm²の最大値を示した。

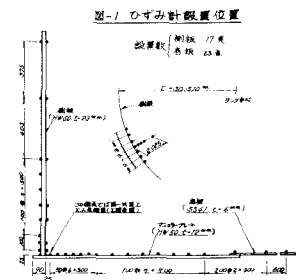


図-1 ひずみ計設置位置

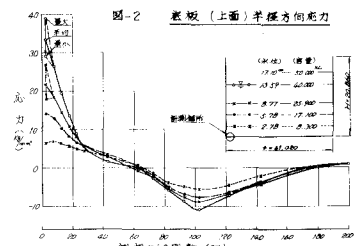


図-2 底板(上面)半径方向応力

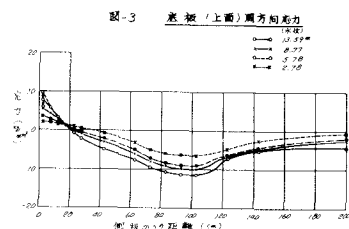


図-3 底板(上面)周方向応力

2) 側板の応力

① 側板鉛直方向の応力測定結果を、図-4に示す。応力は、最下端部で $1,420 \text{ kg/cm}^2$ の最大値を示した。

② 側板周方向の応力測定結果を、図-5に示す。最下端部の応力は、 500 kg/cm^2 で鉛直方向に比較し小さが値を示した。

5. 数値解析

1) 解析手法

軸対称シエル構造として、FEMにより解析した。解析に用いたモデルの概要を、図-6に示す。

2) 地盤のバネ常数

地盤のバネ常数は、図-7に示す7ケースについて検討した。図の④から⑦について、タンク底板より外側地盤の影響を考慮したものである。

3) 解析結果

ここでは、紙数の関係から、もっとも大きな応力の発生する、底板の半径方向についてのみ述べるものとする。

① 図-7に示すの~③の基礎全面の地盤バネを一定にしたときの解析結果を、図-8に示す。バネを強くすると、側板近傍部の応力が大きくなることを示している。

② 図-7に示す④~⑦の基礎外周部の地盤バネを内部より強くした場合の解析結果を、図-9~10に示す。側板直下近傍のバネの強さが、応力に与える影響が非常に大きいことを示している。

6.まとめ

1) 今回の応力測定における最大応力は、丁すみ内部底板の半径方向において測定された。またこの測定における円周方向応力は半径方向応力の $1/4$ 程度であった。

2) 上記1)の最大応力は、側板がHOOP TENSIONを防がろうとするのに對し、底板がこれを拘束し大きな曲げが発生することによるものと思われる。

3) 数値解析され、地盤のバネ常数の影響が非常に大きく、側板直下近傍のバネ定数

を他の部分と比較して2~4倍程度にすることにより、丁すみ内部近傍については測定値に近似した解析結果を得ることができた。

図-4 側板鉛直方向応力

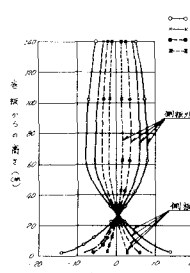


図-5 側板周方向応力

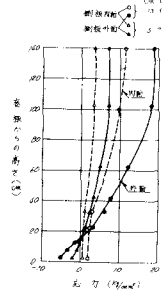


図-6 モデル図

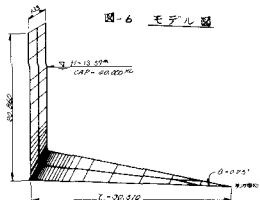


図-7 地盤のバネ常数

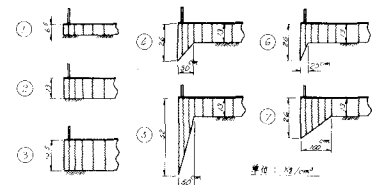


図-8 数値解析(1)

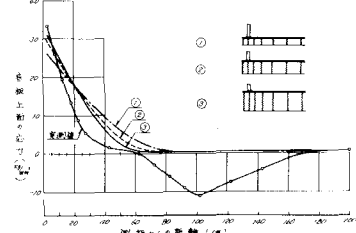


図-9 数値解析(2)

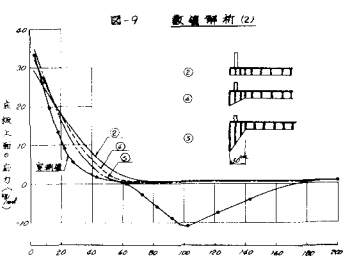


図-10 数値解析(3)

